Interazioni Elettrodeboli

prof. Francesco Ragusa Università di Milano

Lezione n. 17

5.12.2022

Proprietà isotopiche della corrente adronica Fattori di forma CVC e decadimento $\pi^- \to \pi^0~e^-~\overline{ u}_e$

anno accademico 2022-2023

- L'invarianza rispetto ad una trasformazione con $\Lambda \neq 0$ porta alla corrente (di Isospin) conservata $\widehat{\tau}_{\mu}$ $\widehat{\tau}_{\bar{\tau}}$ $\widehat{\tau}_{\bar{\tau}}$
 - Isospin) conservata $\widehat{\mathbf{J}}^{\mu} = \widehat{\overline{\Psi}} \gamma^{\mu} \frac{\vec{\tau}}{2} \widehat{\Psi}$ $\vec{\tau} = \begin{bmatrix} \tau_1 \\ \tau_2 \\ \tau_3 \end{bmatrix}$ La corrente definita è un oggetto complicato
 - ullet È un operatore vettoriale (nel senso di Lorentz) rispetto all'indice μ
 - È un operatore vettoriale (nello spazio dell'isospin) rispetto all'indice i degli operatori di Pauli τ_i
 - ullet \mathbf{J}^{μ} è conservata: per ogni componente i si definiscono le cariche isotopiche

$$\widehat{\mathbf{T}} = \int \widehat{\mathbf{J}}^0(x) d^3 \mathbf{r} = \int \widehat{\overline{\Psi}} \gamma^0 \frac{\vec{\tau}}{2} \widehat{\Psi} d^3 \mathbf{r} \qquad \widehat{\mathbf{T}} = \int \widehat{\overline{\Psi}} \gamma^0 \frac{\vec{\tau}}{2} \widehat{\Psi} d^3 \mathbf{r}$$

- ullet Gli operatori T_i appena definiti
 - ullet Sono operatori come gli operatori di campo Ψ
 - Agiscono sugli stati dello spazio di Fock (in particolare sul vuoto)
 - Gli stati hanno adesso anche il grado di libertà isospin
 - ullet T_i possono essere espressi tramite operatori di creazione e distruzione
- Si possono verificare le seguenti regole di commutazione

$$\left[\widehat{T}_i, \widehat{T}_j \right] = i \varepsilon_{ijk} \widehat{T}_k$$

$$\left[\widehat{\mathbf{T}}, \widehat{\Psi} \right] = -\frac{\overrightarrow{\boldsymbol{\tau}}}{2} \widehat{\Psi} \qquad \left[\widehat{\mathbf{T}}, \widehat{\Psi}^\dagger \right] = \widehat{\Psi}^\dagger \frac{\overrightarrow{\boldsymbol{\tau}}}{2}$$

• Consideriamo adesso la corrente di isospin

$$J_m^{\mu} = \overline{\Psi} \gamma^{\mu} \frac{\tau_m}{2} \Psi$$

• Dall'ultima relazione della diapositiva precedente si può ricavare

$$[T_l,J_m^\mu]=iarepsilon_{lmk}J_k^\mu$$

• In analogia a quanto si fa nella teoria del momento angolare (o dello spin isotopico) si possono definire gli operatori

$$J_{+}^{\mu} = J_{1}^{\mu} + iJ_{2}^{\mu}$$
 $J_{-}^{\mu} = J_{1}^{\mu} - iJ_{2}^{\mu}$ $J_{-}^{\mu} = J_{+}^{\dagger \mu}$

$$J_{-}^{\mu} = J_{1}^{\mu} - iJ_{2}^{\mu}$$

$$J_-^\mu = J_+^{\dagger \mu}$$

• Utilizzando le regole di commutazione precedenti si ottiene

$$\left[\left[T_{3},J_{+}^{\mu} \right] = +J_{+}^{\mu} \right] = -J_{-}^{\mu}$$

$$[T_3, J^{\mu}_{-}] = -J^{\mu}_{-}$$

- Notiamo che le ultime relazioni trovate sono formalmente identiche a quelle della diapositiva 461
 - La differenza è la sostituzione dell'operatore carica elettrica Q con l'operatore T_2
- Questa circostanza suggerisce che possa esistere una relazione fra la corrente debole carica J^{\dagger} e la corrente di isospin J^{+}

• Gli operatori dello spazio isotopico sono classificati secondo le loro proprietà di trasformazione sotto l'azione di un operatore U di $\mathrm{SU}(2)$

$$\widehat{U} = \exp[i\mathbf{\Lambda} \cdot \mathbf{T}]$$

- Operatori isoscalari: ad esempio il numero barionico
 - Infatti

$$\widehat{B}' = e^{i\mathbf{\Lambda}\cdot\mathbf{T}}\widehat{B}e^{-i\mathbf{\Lambda}\cdot\mathbf{T}} = \int e^{i\mathbf{\Lambda}\cdot\mathbf{T}}\widehat{\Psi}^{\dagger}e^{-i\mathbf{\Lambda}\cdot\mathbf{T}} e^{i\mathbf{\Lambda}\cdot\mathbf{T}}\widehat{\Psi}e^{-i\mathbf{\Lambda}\cdot\mathbf{T}}d^{3}\mathbf{r}$$

$$e^{i\mathbf{\Lambda}\cdot\mathbf{T}}\widehat{\Psi}e^{-i\mathbf{\Lambda}\cdot\mathbf{T}} = e^{i\mathbf{\Lambda}\cdot\mathbf{\tau}/2}\widehat{\Psi}$$

$$\frac{e^{i\mathbf{\Lambda}\cdot\mathbf{T}}\widehat{\Psi}e^{-i\mathbf{\Lambda}\cdot\mathbf{T}} = e^{i\mathbf{\Lambda}\cdot\mathbf{\tau}/2}\widehat{\Psi}}{= \int \widehat{\Psi}^{\dagger}e^{-i\mathbf{\Lambda}\cdot\mathbf{\tau}/2} e^{i\mathbf{\Lambda}\cdot\mathbf{\tau}/2}\widehat{\Psi}d^{3}\mathbf{r} = \int \widehat{\Psi}^{\dagger}\widehat{\Psi}d^{3}\mathbf{r} = \widehat{B}}$$

- ullet Operatori isospinoriali: ad esempio il campo Ψ
 - ullet Si può dimostrare che Ψ si trasforma come un isospinore

$$\widehat{\Psi}' = e^{i\mathbf{\Lambda}\cdot\mathbf{T}}\widehat{\Psi}e^{-i\mathbf{\Lambda}\cdot\mathbf{T}} = e^{i\mathbf{\Lambda}\cdot\mathbf{\tau}/2}\widehat{\Psi}$$

$$\widehat{\Psi}' = e^{i\mathbf{\Lambda}\cdot\mathbf{\tau}/2}\widehat{\Psi}$$

- Operatori isovettoriali: ad esempio la corrente
 - La verifica che sia un isovettore è più complicata
 - Si può verificare † che per Λ infinitesimo

$$\Psi' = e^{i\mathbf{\Lambda}\cdot\mathbf{T}}\mathbf{J}^{\mu}e^{-i\mathbf{\Lambda}\cdot\mathbf{T}} \approx \overline{\Psi}\gamma_{\mu}\frac{\vec{\tau}}{2}\Psi + \mathbf{\Lambda}\times\overline{\Psi}\gamma_{\mu}\frac{\vec{\tau}}{2}\Psi$$

• †Bernstein, Elementary Particles and their currents, W.H. Freeman & Company (1968)

$$\Psi = \begin{pmatrix} \psi_p \\ \psi_n \end{pmatrix}$$

 $|\widehat{B}| = \int \widehat{\Psi}^{\dagger} \widehat{\Psi} d^3 \mathbf{r}$

$$\mathbf{J}^{\mu} = \widehat{\overline{\Psi}} \gamma^{\mu} \, \frac{\overrightarrow{\tau}}{2} \, \widehat{\Psi}$$

• Discutiamo adesso l'importante relazione

$$\frac{\widehat{Q}}{e} = \frac{\widehat{B}}{2} + \widehat{T}_3$$

• Consideriamo l'operatore B

$$\widehat{B} = \int \widehat{\Psi}^{\dagger} \widehat{\Psi} d^3 \mathbf{r}$$

$$\widehat{B} = \int \left(\psi_p^{\dagger} \quad \psi_n^{\dagger} \right) \begin{pmatrix} 1 & 0 \\ 0 & 1 \end{pmatrix} \begin{pmatrix} \psi_p \\ \psi_n^p \end{pmatrix} d^3 \mathbf{r} = \int \left(\psi_p^{\dagger} \psi_p + \psi_n^{\dagger} \psi_n \right) d^3 \mathbf{r}$$

$$\widehat{B} = \left(\widehat{N}_p - \widehat{N}_{\overline{p}} + \widehat{N}_n - \widehat{N}_{\overline{n}}\right)$$

ullet Consideriamo adesso l'operatore T_3

$$\widehat{\mathbf{T}} = \int \widehat{\overline{\Psi}} \gamma^0 \frac{\boldsymbol{\tau}}{2} \widehat{\Psi} d^3 \mathbf{r}$$

$$\widehat{T}_{3} = \frac{1}{2} \int \widehat{\overline{\Psi}} \gamma^{0} \begin{pmatrix} 1 & 0 \\ 0 & -1 \end{pmatrix} \widehat{\Psi} d^{3} \mathbf{r} = \frac{1}{2} \int \widehat{\Psi}^{\dagger} \begin{pmatrix} 1 & 0 \\ 0 & -1 \end{pmatrix} \widehat{\Psi} d^{3} \mathbf{r} = \frac{1}{2} \int \left(\psi_{p}^{\dagger} \psi_{n}^{\dagger} \right) \begin{pmatrix} 1 & 0 \\ 0 & -1 \end{pmatrix} \begin{pmatrix} \psi_{p} \\ \psi_{n} \end{pmatrix} d^{3} \mathbf{r}$$

$$= \frac{1}{2} \int \left(\psi_{p}^{\dagger} \psi_{p} - \psi_{n}^{\dagger} \psi_{n} \right) d^{3} \mathbf{r}$$

$$= \frac{1}{2} \int \left(\psi_{p}^{\dagger} \psi_{p} - \psi_{n}^{\dagger} \psi_{n} \right) d^{3} \mathbf{r}$$

• In definitiva

$$\widehat{T}_3 = \frac{\widehat{N}_p - \widehat{N}_{\overline{p}}}{2} - \frac{\widehat{N}_n - \widehat{N}_{\overline{n}}}{2}$$

ullet Per finire possiamo definire la carica elettrica del sistema (in unità di e) come il numero di protoni

$$N_p = \int \psi_p^\dagger \psi_p d^3 \mathbf{r} = \int \left(\psi_p^\dagger \ \psi_n^\dagger\right) \begin{pmatrix} 1 & 0 \ 0 & 0 \end{pmatrix} \begin{pmatrix} \psi_p \ \psi_n \end{pmatrix} \widehat{\Psi} d^3 \mathbf{r}$$

$$\boxed{\frac{\widehat{Q}}{e} = \int \widehat{\overline{\Psi}} \gamma^0 \begin{pmatrix} 1 & 0 \\ 0 & 0 \end{pmatrix} \widehat{\Psi} d^3 \mathbf{r}}$$

• Abbiamo utilizzato le seguenti matrici 2×2

$$\widehat{Q} \to \begin{pmatrix} 1 & 0 \\ 0 & 0 \end{pmatrix}$$

$$\widehat{B} \to \begin{pmatrix} 1 & 0 \\ 0 & 1 \end{pmatrix}$$

$$\widehat{Q} \to \begin{pmatrix} 1 & 0 \\ 0 & 0 \end{pmatrix} \qquad \qquad \widehat{B} \to \begin{pmatrix} 1 & 0 \\ 0 & 1 \end{pmatrix} \qquad \qquad \widehat{T}_3 \to \begin{pmatrix} \frac{1}{2} & 0 \\ 0 & -\frac{1}{2} \end{pmatrix}$$

Ovviamente si ha

$$\begin{pmatrix} 1 & 0 \\ 0 & 0 \end{pmatrix} = \frac{1}{2} \begin{pmatrix} 1 & 0 \\ 0 & 1 \end{pmatrix} + \begin{pmatrix} \frac{1}{2} & 0 \\ 0 & -\frac{1}{2} \end{pmatrix}$$

Utilizzando la relazione precedente si trova

$$\frac{\widehat{Q}}{e} = \frac{\widehat{B}}{2} + \widehat{T}_3$$

- Ritorniamo adesso alle considerazioni fatte nella diapositiva 466
 - Avevamo visto le regole di commutazione

$$[T_3, J_+^{\mu}] = +J_+^{\mu}$$
 $[T_3, J_-^{\mu}] = -J_-^{\mu}$

• Abbiamo appena visto che $\frac{\widehat{Q}}{\widehat{Q}} = \frac{\widehat{B}}{2} + \widehat{T}_3$

ullet Dato che la corrente conserva il numero barionico, B commuta con la corrente e quindi possiamo sostituire Q a T_3 nelle regole di commutazione

$$[Q, J_+^{\mu}] = +J_+^{\mu}$$

$$[Q, J_{-}^{\mu}] = -J_{-}^{\mu}$$

 $\left[Q,J_+^\mu\right]=+J_+^\mu$ $\left[Q,J_-^\mu\right]=-J_-^\mu$ Confrontare con diapositiva 466

- Tutto ciò ci permette di dire che la corrente adronica carica $J^{\dagger \alpha}$ ha evidenti somiglianze con un operatore nello spazio di isospin con le proprietà di un operatore di innalzamento o di abbassamento
 - ullet La corrente $J^{\daggerlpha}\equiv J_{+}^{lpha}$ che induce, ad esempio, transizioni $oldsymbol{n} ooldsymbol{p}$
 - La corrente $J^{lpha}\equiv J^{lpha}_-$ che induce, ad esempio, transizioni p o n
 - Assumiamo pertanto che gli stati iniziale e finale siano elementi di un spazio isotopico

$$|p\rangle = \left|\frac{1}{2}, \frac{1}{2}\right\rangle \qquad |n\rangle = \left|\frac{1}{2}, -\frac{1}{2}\right\rangle$$

La corrente adronica

- Studiamo ora il comportamento generale della corrente adronica in relazione alle sue proprietà di trasformazione per il gruppo di Lorentz
 - Consideriamo un elemento di matrice della corrente fra uno stato iniziale e uno stato finale $|i\rangle$ ed $|f\rangle$
 - Ad esempio nel decadimento eta del neutrone i=n f=p $\left\langle p\mid h^{lpha}\left(x
 ight)\mid n
 ight
 angle$
 - Oppure nel decadimento eta del pione $egin{aligned} m{i} = \pi^- & m{f} = \pi^0 \end{aligned} \left\langle \pi^0 \mid h^{lpha}\left(x\right) \mid \pi^-
 ight
 angle$
- Innanzitutto la teoria deve essere invariante per traslazioni
 - L'invarianza per traslazioni (P^{μ} generatori delle traslazioni) implica che si possa scrivere

$$h^{\alpha}\left(x\right) = e^{+i\widehat{P}\cdot x}h^{\alpha}\left(0\right)e^{-i\widehat{P}\cdot x} \qquad \left\langle f\mid h^{\alpha}\left(x\right)\mid i\right\rangle = e^{iq\cdot x}\left\langle f\mid h^{\alpha}\left(0\right)\mid i\right\rangle \qquad q^{\mu} = p_{f}^{\mu} - p_{i}^{\mu}$$

· Consideriamo adesso l'elemento di matrice

$$\langle f \mid h^{\alpha}(0) \mid i \rangle$$

· Abbiamo già notato che ha una componente polare e una assiale

$$\langle f \mid h^{\alpha}(0) \mid i \rangle = \langle f \mid \mathcal{V}^{\alpha}(0) \mid i \rangle - \langle f \mid \mathcal{A}^{\alpha}(0) \mid i \rangle$$

La corrente adronica: Fattori di Forma

• Nella trattazione del decadimento β abbiamo utilizzato il risultato (diap. 294)

$$\langle p \, | \, \overline{\psi}_p \Gamma^\mu \psi_n \, | \, n \rangle = \, \overline{u}_{p_n} \Gamma^\mu u_{p_n} e^{iq \cdot x}$$

- Questo risultato vale solo per particelle puntiformi (senza struttura)
- · Non è adequato per calcoli precisi con adroni
 - Nel caso degli adroni occorre ricorrere a parametrizzazioni che superino la nostra incapacità di calcolare esattamente gli elementi di matrice in presenza dell'interazione forte
- Sulla base di considerazioni di invarianza relativistica si può scrivere la forma più generale che devono avere gli elementi di matrice \underline{n}
 - Nel caso di fermioni (ad esempio neutrone \rightarrow protone)

$$\left\langle p \mid V_{\mu}^{\dagger} \mid n \right\rangle = \overline{u} \left(p_{f} \right) \left[g_{V} \gamma_{\mu} + f_{V} \frac{i \sigma_{\mu \nu} q^{\nu}}{2m} + h_{V} \frac{q_{\mu}}{2m} \right] u \left(p_{i} \right)$$

$$\left\langle p \mid A_{\mu}^{\dagger} \mid n \right\rangle = \overline{u} \left(p_f \right) \left[g_A \gamma_{\mu} \gamma^5 + f_A \frac{i \sigma_{\mu\nu} q^{\nu}}{2m} \gamma^5 + h_A \frac{q_{\mu}}{2m} \gamma^5 \right] u \left(p_i \right)$$

- Le quantità $g_X,\,f_X,\,h_X$ sono funzioni scalari dell'unica quantità cinematica scalare non banale: $q^2=(\ p_f-\ p_i\)^2$
- Notiamo che per particelle senza struttura $f_X=\,h_X=\,0$ e $g_X=\,1$

La corrente adronica: Fattori di Forma

- I fattori di forma possono essere estratti da misure di decadimenti deboli in funzione del momento trasferito
 - ullet In particolare abbiamo già visto alcuni risultati per il decadimento eta del n
 - Data la piccola differenza di massa fra neutrone e protone il momento trasferito è limitato a valori molto piccoli: $q^2 pprox 0$
 - ullet Nel limite di bassi momenti trasferiti sopravvivono solo i Fattori di Forma g_X

$$\left\langle p \mid V_{\mu}^{\dagger} \mid n \right\rangle \approx \overline{u} \left(p_{f} \right) \mathbf{g}_{V} \left(\mathbf{0} \right) \gamma_{\mu} u \left(p_{i} \right) \qquad \left\langle p \mid A_{\mu}^{\dagger} \mid n \right\rangle \simeq \overline{u} \left(p_{f} \right) \mathbf{g}_{A} \left(\mathbf{0} \right) \gamma_{\mu} \gamma^{5} u \left(p_{i} \right)$$

• Confrontando con risultati ottenuti da transizioni di Fermi $0^+ o 0^+$

$$G_{\beta} = Gg_{V}(0)$$
 $G_{\beta} = 1.13578 \pm 0.00027 \times 10^{-5} \text{GeV}^{-2}$

ullet Utilizzando per G il valore ottenuto G_{μ} dalla vita media del muone

$$G_{\mu} = 1.16637 \pm 0.00001 \times 10^{-5} \,\mathrm{GeV}^{-2}$$

• Supponendo $G=G_{\mu}$ otteniamo

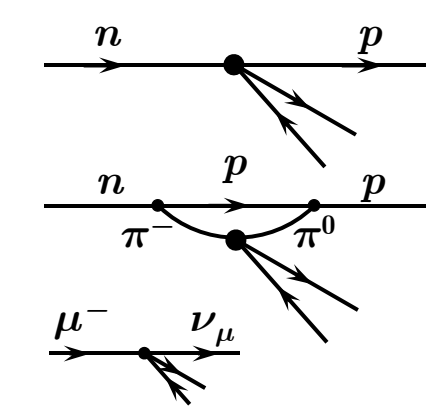
$$g_V(0) = 0.97377 \pm 0.00023$$

Dagli studi di transizioni di Gamov—Teller si ottiene

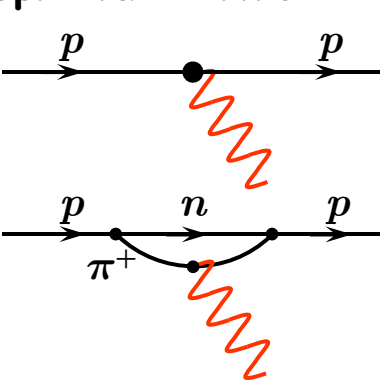
$$\frac{g_A(0)}{g_V(0)} = 1.2695 \pm 0.0029$$

La corrente adronica vettoriale

- La cosa più interessante del risultato precedente è che $g_{V}\!(0)$ è praticamente 1
 - Significa che a basso momento trasferito la parte vettoriale della corrente adronica si comporta in modo molto simile alla corrente vettoriale del muone
 - L'interazione forte non modifica il decadimento debole
- · Questa affermazione merita dei commenti
 - · Per il decadimento del neutrone abbiamo calcolato
 - Poiché esiste il decadimento $\pi^-
 ightarrow \pi^0 \, e^- \, \overline{
 u}_e$
 - Dovremmo considerare anche contributi tipo
 - Il fatto che $g_V(0)=1$ significa che il secondo diagramma non modifica il primo che risulta uguale a quello del decadimento del leptone μ



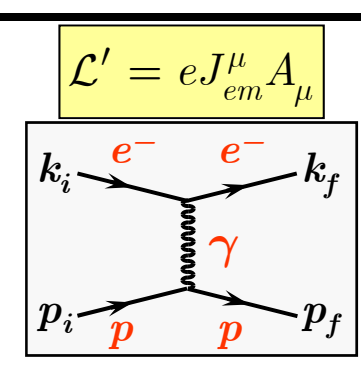
- Questa circostanza è analoga a quanto succede alle proprietà elettromagnetiche del protone a basso momento trasferito p
 - L'interazione elettromagnetica del protone è descritta dal diagramma
 - È identica a quella dell'elettrone (puntiforme)
 - Non è modificata da effetti del tipo indicato dal diagramma



Digressione: la corrente elettromagnetica

- Nel caso dello scattering elastico elettrone protone il processo è descritto dall'interazione di due correnti tramite un fotone
 - L'elemento di matrice della corrente leptonica si può calcolare esattamente perché si possono usare i campi liberi

i campi liberi
$$J_{em}^{\mu}\left(x\right) = \overline{\psi}_{e}\left(x\right)\gamma^{\mu}\psi_{e}\left(x\right) \qquad \left\langle k_{f}\left|J_{em}^{\mu}\left(x\right)\right|k_{i}\right\rangle = \overline{u}_{k_{f}}\gamma^{\mu}u_{k_{i}}e^{iq\cdot x}$$



$$q = p_f - p_i$$

• Per l'elemento di matrice della corrente adronica bisogna utilizzare una parametrizzazione simile a quanto fatto per l'interazione debole

$$\left\langle p_{f}\left|J_{em}^{\mu}\left(x\right)\right|p_{i}\right\rangle =\overline{u}_{p_{f}}\left[F_{1}\left(q^{2}\right)\gamma^{\mu}\right.\\ \left.+F_{2}\left(q^{2}\right)\frac{i\sigma^{\mu\nu}q_{\nu}}{2m}+F_{3}\left(q^{2}\right)q^{\mu}\right]u_{p_{i}}e^{iq\cdot x}$$

• Che l'interazione elettromagnetica a basso momento trasferito non sia sensibile alle interazioni forti è espresso dal fatto che

$$F_1(0) = 1$$

• La cancellazione degli effetti dovuti ai diagrammi di ordine superiore nella ridefinizione della carica elettrica (escluso la polarizzazione del vuoto) è una conseguenza della conservazione della corrente elettromagnetica

$$\partial_{\mu}J^{\mu}_{em}\left(x\right)=0$$

Digressione: la corrente elettromagnetica

ullet La conservazione della corrente elettromagnetica implica che $F_3=0$

$$\partial_{\mu} \left\langle p_{f} \left| J_{em}^{\mu} \left(x \right) \right| p_{i} \right\rangle = 0 \qquad \qquad \partial_{\mu} \left\langle p_{f} \left| J_{em}^{\mu} \left(0 \right) \right| p_{i} \right\rangle e^{iq \cdot x} = q_{\mu} \left\langle p_{f} \left| J_{em}^{\mu} \left(0 \right) \right| p_{i} \right\rangle = 0$$

• Imponendo questa condizione sulla parametrizzazione

$$q_{\mu} \, \overline{u}_{p_{f}} \left[F_{1} \left(q^{2} \right) \gamma^{\mu} + F_{2} \left(q^{2} \right) \frac{i \sigma^{\mu \nu} q_{\nu}}{2m} + F_{3} \left(q^{2} \right) q^{\mu} \right] u_{p_{i}} = 0$$

- Osserviamo che $q_{\mu}\gamma^{\mu}=p_f-p_i$
- Il primo termine diventa pertanto

$$\overline{u}_{p_f} \left(p_f - p_i \right) u_{p_i} = \overline{u}_{p_f} \left(m_p - m_p \right) u_{p_i} = 0$$

$$pu_p = mu_p$$

- Il secondo termine è nullo per l'antisimmetria di $\sigma^{\mu
 u}$
- Otteniamo in definitiva

$$q_{\mu} \, \overline{u}_{p_f} \, F_3 \left(q^2\right) q^{\mu} \, u_{p_i} \, = 0 \qquad q^2 \, F_3 \left(q^2\right) \overline{u}_{p_f} u_{p_i} \, = 0$$

$$q^2 F_3(q^2) \overline{u}_{p_f} u_{p_i} = 0$$



$$F_3\left(q^2\right) = 0$$

• L'elemento di matrice della corrente elettromagnetica del protone è pertanto

$$\left\langle p_f \left| J_{em}^{\mu} \left(0 \right) \right| p_i \right\rangle = \overline{u}_{p_f} \left[F_1 \left(q^2 \right) \gamma^{\mu} + F_2 \left(q^2 \right) \frac{i \sigma^{\mu \nu} q_{\nu}}{2m} \right] u_{p_i}$$

• Gli esperimenti di scattering elastico $e p \rightarrow e p$ permettono di misurare i fattori di forma F_1 e F_2 in funzione del momento trasferito q^2

Digressione: la corrente elettromagnetica

- Per una particella puntiforme che obbedisce all'equazione di Dirac
 - Il Fattore di Forma F_1 è costante (non dipende da q^2) ed è uguale a 1
 - Il Fattore di Forma F_2 è sempre nullo
- ullet Occorre tenere presente che il fattore F_2 rappresenta una interazione di momento magnetico aggiuntiva
 - La corrente vettoriale $\overline{u}_f \gamma^\mu u_i$ contiene già una interazione di tipo magnetico
 - Lo abbiamo visto nel limite di bassa energia
 - Lo si può vedere esplicitamente con la Scomposizione di Gordon della corrente vettoriale

$$\boxed{\overline{u}_{\!\scriptscriptstyle f} \gamma^\mu u_i \, = \frac{1}{2m} \, \overline{u}_{\!\scriptscriptstyle f} \, \Big[\Big(\, p_{\!\scriptscriptstyle f} \, + \, p_i \, \Big)^{\!\scriptscriptstyle \mu} \, + \, i \sigma^{\mu\nu} \, \Big(\, p_{\!\scriptscriptstyle f} \, - \, p_i \, \Big)_{\!\scriptscriptstyle \nu} \, \Big] u_i}$$

- ullet Dal momento che F_2 descrive una interazione di momento magnetico aggiuntiva viene detta "Momento Magnetico Anomalo"
 - In particolare il suo valore a momento trasferito nullo $\kappa = F_2(0)$
 - In alcuni articoli o testi si fa la sostituzione $F_2 o \kappa F_2$ con $F_2(0)=1$ e κ è il momento magnetico anomalo

Scomposizione di Gordon

• La scomposizione di Gordon mette in evidenza i due termini di interazione di una particella di Dirac

$$\overline{u}_{\!f}\gamma^{\mu}u_{\!i} = \frac{1}{2m}\,\overline{u}_{\!f}\,\Big[\Big(\,p_{\!f}\,+\,p_{\!i}\,\Big)^{\!\mu} + i\sigma^{\mu\nu}\,\Big(\,p_{\!f}\,-\,p_{\!i}\,\Big)_{\!\nu}\,\Big]u_{\!i}\Big]$$

- L'interazione di una particella senza spin
- L'interazione dovuta al momento magnetico-
- Per dimostrare la relazione sviluppiamo il secondo termine

ullet Dalle regole di commutazione delle matrici γ^{μ}

$$\left| \left\{ \gamma^{\mu}, \gamma^{\nu} \right\} \right| = 2g^{\mu\nu} \quad \to \quad \gamma^{\mu}\gamma^{\nu} = 2g^{\mu\nu} - \gamma^{\nu}\gamma^{\mu}$$

• Utilizzando la relazione per i due termini otteniamo

$$\overline{u}_{f}\sigma^{\mu\nu}\left(p_{f}-p_{i}\right)_{\nu}u_{i}=-im\overline{u}_{f}\gamma^{\mu}u_{i}+\frac{i}{2}\overline{u}_{f}\left(2g^{\mu\nu}p_{f\nu}-\gamma^{\nu}\gamma^{\mu}p_{f\nu}+2g^{\mu\nu}p_{i\nu}-\gamma^{\mu}\gamma^{\nu}p_{i\nu}\right)u_{i}$$

Scomposizione di Gordon

$$\overline{u}_{f}\sigma^{\mu\nu}\left(p_{f}-p_{i}\right)_{\nu}u_{i} = -im\overline{u}_{f}\gamma^{\mu}u_{i} + \frac{i}{2}\overline{u}_{f}\left(2g^{\mu\nu}p_{f\nu} - \gamma^{\nu}\gamma^{\mu}p_{f\nu} + 2g^{\mu\nu}p_{i\nu} - \gamma^{\mu}\gamma^{\nu}p_{i\nu}\right)u_{i}$$

$$= -im\overline{u}_{f}\gamma^{\mu}u_{i} + \frac{i}{2}\overline{u}_{f}\left(2p_{f}^{\mu} - \not p_{f}\gamma^{\mu} + 2p_{i}^{\mu} - \gamma^{\mu}\not p_{i}\right)u_{i}$$

· Applicando ancora una volta l'equazione di Dirac otteniamo

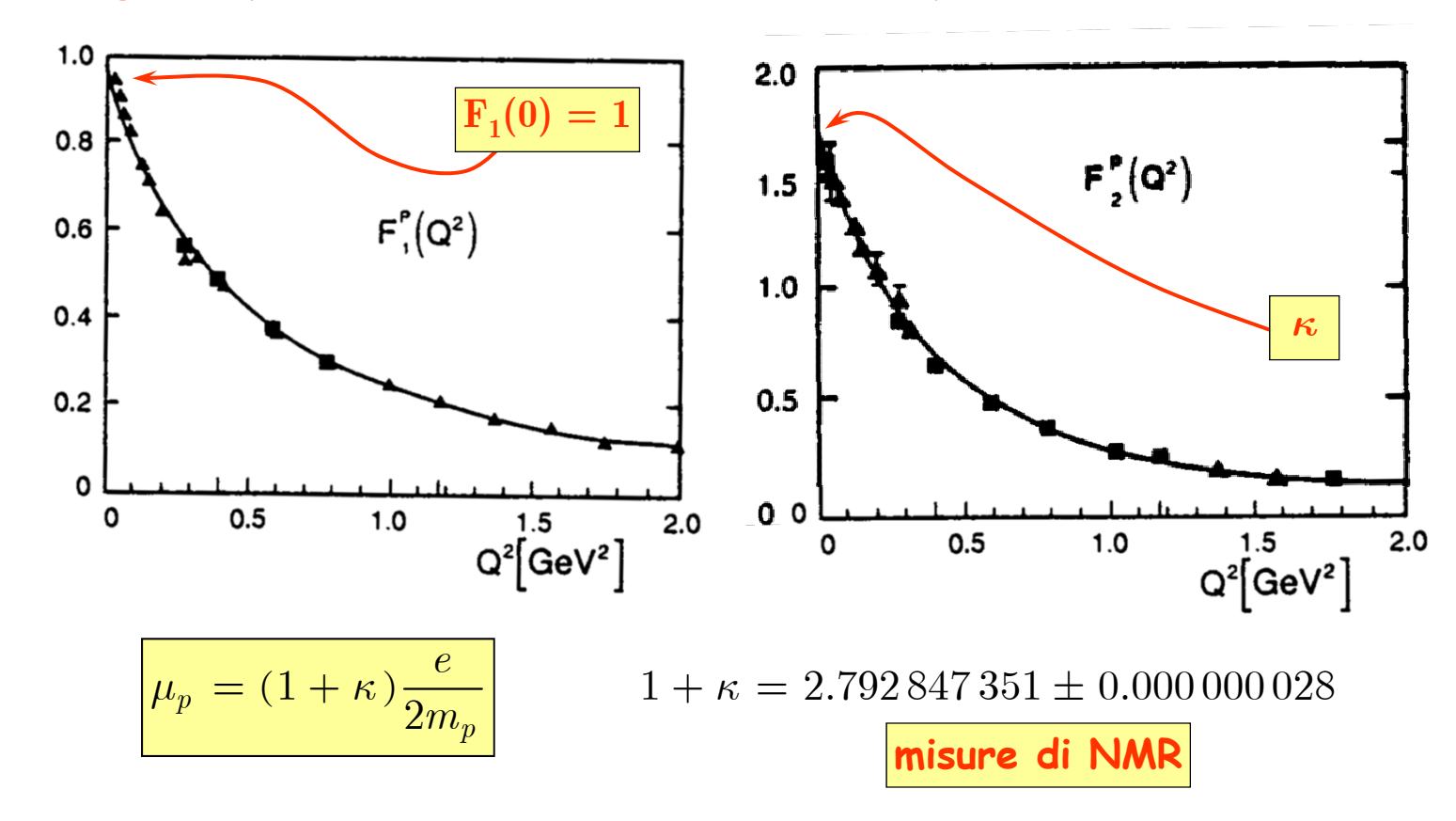
$$\overline{u}_{\!f}\sigma^{\mu\nu}\left(\,p_{\!f}\,-\,p_{\!i}\,\right)_{\!\nu}u_{\!i}\,=\,-i2m\overline{u}_{\!f}\gamma^{\mu}u_{\!i}\,+\,i\overline{u}_{\!f}\left(\,p_{\!f}^{\mu}\,+\,p_{\!i}^{\mu}\,\right)u_{\!i}$$

• Ridisponendo i termini otteniamo la scomposizione di Gordon della corrente vettoriale

$$\overline{u}_{\!f}\gamma^{\mu}u_{\!i}\,=\frac{1}{2m}\,\overline{u}_{\!f}\,\Big[\Big(\,p_{\!f}\,+\,p_{\!i}\,\Big)^{\!\mu}\,+\,i\sigma^{\mu\nu}\,\Big(\,p_{\!f}\,-\,p_{\!i}\,\Big)_{\!\nu}\,\Big]u_{\!i}$$

I Fattori di Forma del protone

- Ritorniamo ai fattori di forma elettromagnetici
 - Le figure riportano i due fattori di forma del protone[†]



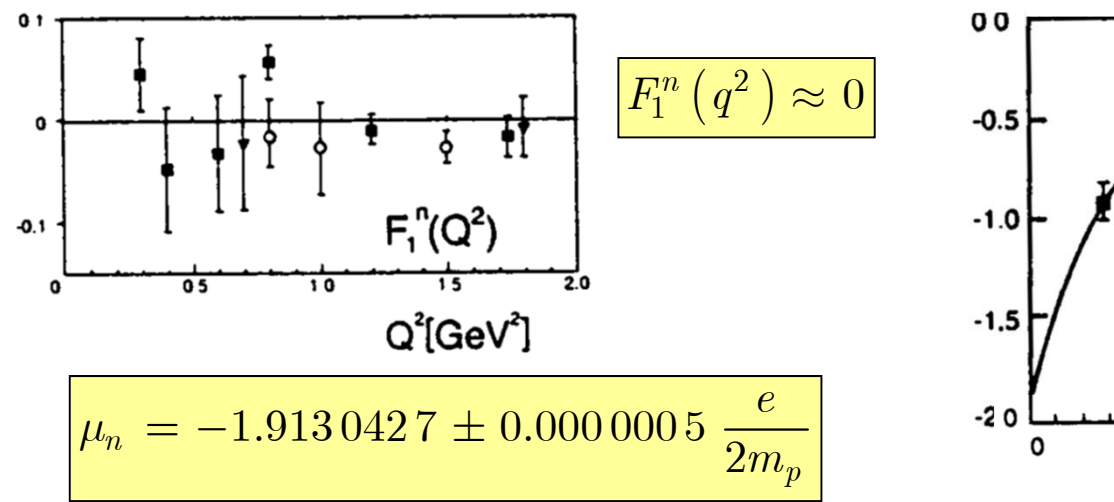
• † Borkowski et al Nucl. Phys. 93 (1975) p. 461
Thomas A., Weise W. – The structure of the nucleon p. 11-12 – John Wiley and Sons 2001

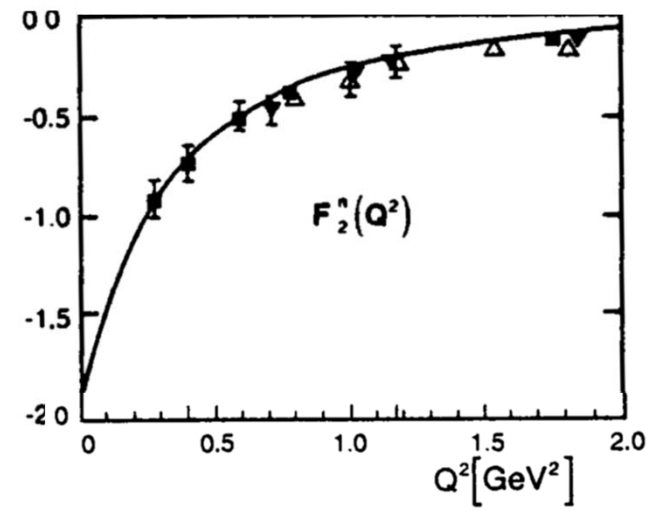
I Fattori di Forma del protone

• Una analisi analoga può essere fatta per il neutrone

$$\left\langle p_f \left| J_{em}^{\mu} \left(0 \right) \right| p_i \right\rangle = \overline{u}_{p_f} \left[F_1^n \left(q^2 \right) \gamma^{\mu} + F_2^n \left(q^2 \right) \frac{i \sigma^{\mu \nu} q_{\nu}}{2m} \right] u_{p_i}$$

• Le figure mostrano i risultati di esperimenti $e \ n \to e \ n$ che permettono di misurare i fattori di forma in funzione del momento trasferito g^2





- Misure dei Fattori di Forma del neutrone mostrano una complessa struttura di cariche e correnti
 - Il neutrone si comporta come se avesse un nucleo positivo e una superficie negativa (con la carica totale ovviamente nulla): $n \to p + \pi^- \to n$

Corrente elettromagnetica e isospin

• Il formalismo precedente può essere unificato utilizzando gli isospinori Ψ per descrivere protoni e neutroni

$$\Psi = \begin{pmatrix} \psi_p \\ \psi_n \end{pmatrix}$$

• Per il protone possiamo scrivere la corrente vettoriale come

$$j_p^{\mu} = \overline{\psi}_p \gamma^{\mu} \psi_p = \begin{pmatrix} \psi_p & \psi_n \end{pmatrix} \begin{pmatrix} 1 & 0 \\ 0 & 0 \end{pmatrix} \gamma^{\mu} \begin{pmatrix} \psi_p \\ \psi_n \end{pmatrix}$$

- ullet La matrice $2{ imes}2$ può essere riscritta utilizzando le matrici di Pauli au
- Otteniamo pertanto

$$\begin{pmatrix} 1 & 0 \\ 0 & 0 \end{pmatrix} = \frac{1+\tau_3}{2}$$

$$j_p^{\mu} = \overline{\Psi}\gamma^{\mu} \frac{1+\tau_3}{2} \Psi$$

- Occorre tenere presente che gli operatori γ^μ e $(1+ au_3)/2$ operano in spazi differenti e quindi la loro posizione relativa non è essenziale
- Pertanto, nello spazio dell'isospin, la corrente del protone è la somma di due termini $j^\mu_v=j^\mu_S+j^\mu_3$
 - La corrente j_S^μ è un isoscalare

$$j_S^{\mu} = \overline{\Psi} \gamma^{\mu} 1 \Psi$$

• La corrente j_3^μ è la componente 3 dell'isovettore

$$igg| \, {f j}_V^\mu = rac{1}{2} {ar \Psi} \gamma^\mu {m {ec au}} \, \Psi$$

Corrente elettromagnetica e isospin

· Analogamente per il neutrone

$$j_n^{\mu} = j_S^{\mu} - j_3^{\mu}$$

Per tutte le correnti introdotte possiamo introdurre i fattori di forma

$$\left\langle p_{f}\left|j_{X}^{\mu}\left(0\right)\right|p_{i}\right\rangle =\overline{u}_{p_{f}}\left[F_{1}^{X}\left(q^{2}\right)\gamma^{\mu}+F_{2}^{X}\left(q^{2}\right)\frac{i\sigma^{\mu\nu}q_{\nu}}{2m}\right]Tu_{p_{i}}$$

- ullet A seconda dei casi la corrente J_X , gli spinori u e la matrice T sono
 - Per X=n, p
 - La corrente J_X è un operatore nello spazio degli spinori $u_n,\ u_n$
 - La matrice T non è presente
 - Per X = S, V
 - La corrente J_X è anche un operatore nello spazio degli isospinori $\mathbf{u} = \begin{bmatrix} u_p \\ u \end{bmatrix}$
 - T è una delle due matrici 2×2
 - O la matrice identità I(S)
 - O la matrice au_3 (V)
- Si hanno ovviamente le sequenti relazioni

$$F_{1,2}^S = \frac{1}{2} (F_{1,2}^p + F_{1,2}^n)$$

$$F_{1,2}^V = \frac{1}{2} (F_{1,2}^p - F_{1,2}^n)$$

Il Fattore di Forma del mesone π^{\pm}

- Richiamiamo alcuni risultati relativi al campo complesso $\widehat{\phi}$ soluzione della equazione di Klein-Gordon
 - Descrive una particella puntiforme di spin zero s^{\pm}
 - La corrente elettromagnetica è data da

$$\hat{j}_{em}^{\mu} = ie \left[\hat{\phi}^{\dagger} \partial^{\mu} \hat{\phi} - \left(\partial^{\mu} \hat{\phi}^{\dagger} \right) \hat{\phi} \right]$$

- Consideriamo adesso gli stati di particella singola $\left|s^{+},p\right\rangle = \sqrt{2E}\,\widehat{a}_{p}^{\dagger}\left|0\right\rangle$
- Utilizzando l'espansione in operatori di creazione e distruzione per il campo $\widehat{\phi}$ è facile calcolare l'elemento di matrice della corrente elettromagnetica

$$\left\langle s^{+},p_{f}\mid\widehat{j}_{\mathrm{em}}^{\,\mu}\left(x\right)\mid s^{+}.p_{i}\right\rangle =e\left(p_{i}^{\mu}+p_{f}^{\mu}\right)e^{-i\left(p_{i}-p_{f}\right)\cdot x}$$

- Anche nel caso del mesone π l'interazione forte modifica l'elemento di matrice
- Considerazioni di invarianza relativistica portano a concludere che
 - L'elemento di matrice può dipendere solo dai 4-vettori p_i e p_f
 - L'elemento di matrice contiene funzioni scalari (invarianti) della variabile q^2
 - Invece che i due 4-vettori p_i e p_f è conveniente utilizzare la loro somma e la loro differenza

$$q^{\mu} = p_i^{\mu} - p_f^{\mu} \qquad \qquad P^{\mu} = p_i^{\mu} + p_f^{\mu}$$

Il Fattore di Forma del π^{\pm}

· Pertanto l'elemento di matrice si può scrivere

$$\left\langle \pi^{+},p_{f}\mid\widehat{j}_{\mathrm{em}}^{\,\mu}\left(x\right)\mid\pi^{+}.p_{i}\right\rangle =e\left[F_{\pi}\left(q^{2}\right)P^{\mu}\right.\\ \left.+\left.G_{\pi}\left(q^{2}\right)q^{\mu}\right]e^{-iq\cdot x}$$

• Una ulteriore semplificazione deriva dalla conservazione della corrente elettromagnetica

$$\partial_{\mu} \left\langle f \mid \widehat{j}_{\mathrm{em}}^{\mu}(x) \mid i \right\rangle = 0$$

• Osserviamo che l'elemento di matrice dipende da \overline{x} solo attraverso l'esponenziale e pertanto

$$\partial_{\mu} \left\langle f \mid \widehat{j}_{\mathrm{em}}^{\mu}(x) \mid i \right\rangle = 0 \longrightarrow q_{\mu} \left\langle f \mid \widehat{j}_{\mathrm{em}}^{\mu}(x) \mid i \right\rangle = 0$$

Sostituendo

$$F_{\pi} (q^2) q_{\mu} P^{\mu} + G_{\pi} (q^2) q_{\mu} q^{\mu} = 0$$

• Si verifica facilmente che $q_{\mu}P^{\mu}=0$ e quindi

In definitiva otteniamo

$$\left\langle \pi^{+}, p_{f} \mid \widehat{j}_{\mathrm{em}}^{\mu}\left(x\right) \mid \pi^{+}.p_{i}\right\rangle = eF_{\pi}\left(q^{2}\right)\left(p_{i}^{\mu} + p_{f}^{\mu}\right)e^{-iq\cdot x}$$

- La funzione $\overline{F_{\pi}(q^2)}$ è il fattore di forma elettromagnetico del pione
 - ullet Per una particella scalare puntiforme $F_s(q^2)=1$

$$\left\langle s^{+},p_{f}\mid\widehat{j}_{\mathrm{em}}^{\,\mu}\left(x\right)\mid s^{+}.p_{i}\right\rangle =e\left(p_{i}^{\mu}+p_{f}^{\mu}\right)e^{-iq\cdot x}$$

Il Fattore di Forma del π^{\pm}

- Il fattore di forma del π^+ si può misurare in vari modi
 - Mediante la fotoproduzione di pioni con fotoni reali o virtuali

$$e^- p \rightarrow e^- n \pi^+$$

Mediante lo scattering di pioni su elettroni

$$\pi^- e^- \rightarrow \pi^- e^-$$

• Calcoliamo il momento trasferito q^2

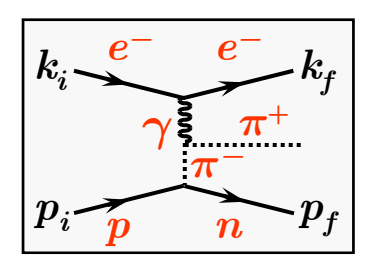
$$q^{2} = (k_{i} - k_{f})^{2} = m_{\pi}^{2} + m_{\pi}^{2} - 2E_{i}E_{f} + 2\mathbf{p}_{i} \cdot \mathbf{p}_{f}$$

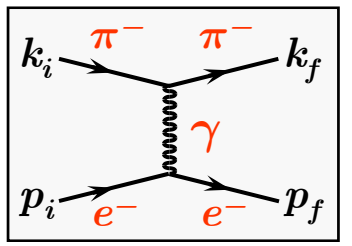
- In queste reazioni il momento trasferito è sempre negativo
 - Si dice che q^2 è space-like
- ullet Il valore massimo $q^2=0$ si ha per

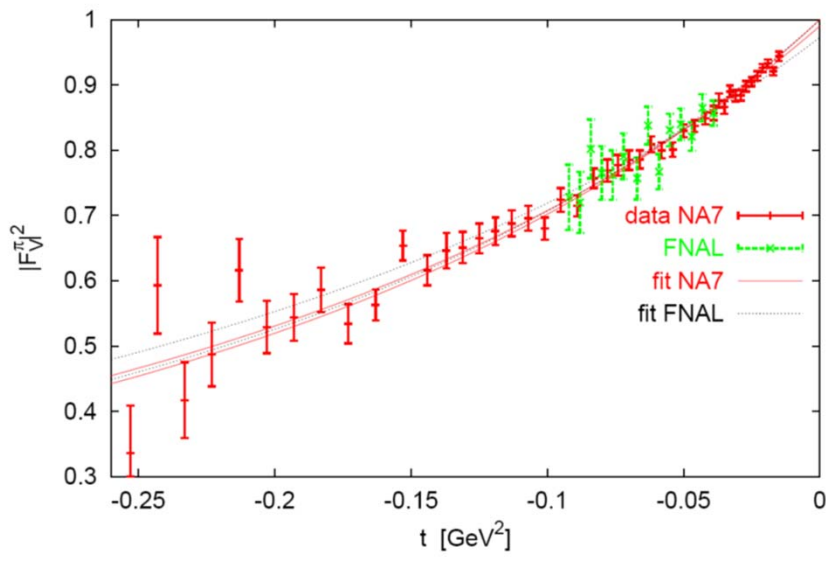
$$\mathbf{p}_i = \mathbf{p}_f$$

- La figura mostra la compilazione dei dati di due esperimenti
 - I risultati sono compatibili con

$$F_{\pi}\left(0\right)=1$$







La corrente debole adronica

- Da quanto fin qui esposto, in particolare richiamiamo la diapositiva <u>474</u>, risulta evidente che la componente vettoriale della corrente debole adronica ha molte analogie con la componente isovettoriale della corrente elettromagnetica
 - Entrambe le correnti sono "insensibili" alle correzioni radiative forti
 - Il fattore di forma relativo tende a 1 per $q^2
 ightarrow 0$
 - È possibile che anche la componente vettoriale della corrente debole sia conservata
- Queste analogie risultano implicite se si fanno le seguenti assunzioni
 - Il nucleone è descritto da un campo isospinoriale
 - ullet La teoria $\dot{f e}$ invariante per trasformazioni globali di isospin ${
 m SU}(2)$
 - Esistono 3 correnti conservate $J_1,\,J_2,\,J_3$
 - Alle 3 correnti corrispondono 3 cariche $T_1,\ T_2,\ T_3$
 - La componente isovettoriale della corrente adronica elettromagnetica è la corrente J_3

$$j_V^{\alpha} = J_3^{\alpha}$$

• La componente vettoriale della corrente debole adronica è la corrente $J_1\,+\,iJ_2$

$$J^{\dagger \alpha} = J_1^{\alpha} + iJ_2^{\alpha}$$

- Questa ipotesi fu proposta da Gell-Mann e Feynman e prende il nome di
- Conserved Vector Current o, in breve, CVC

• Come applicazione della ipotesi CVC calcoliamo la larghezza del decadimento

$$\pi^- \to \pi^0 \, e^- \, \overline{\nu}_e$$

$$\frac{\Gamma_{\pi^- \to \pi^0 \, e^- \, \overline{\nu}_e}}{\Gamma_{\pi^- \to all}} = 1.036 \times 10^{-8}$$

- È un decadimento raro dato il piccolo volume dello spazio delle fasi dovuto al piccolo Q valore del decadimento
- È tuttavia molto interessante perché consente una verifica della CVC
- L'ampiezza del decadimento è data da

$$\mathfrak{M} = rac{G}{\sqrt{2}} \langle \pi^0 \mid J_+^\mu \mid \pi^- \rangle \overline{u}_e \gamma_\mu \left(1 - \gamma^5 \right) v_
u$$

- Dobbiamo calcolare l'elemento di matrice adronico
- Innanzitutto, per l'invarianza relativistica, l'elemento di matrice può dipendere solo dai 4-vettori p_i e p_f

$$\langle \pi^0 | J_+^{\mu} | \pi^- \rangle = a p_i^{\mu} + b p_f^{\mu}$$

Sappiamo inoltre che la corrente ha una parte polare e una assiale

$$\langle \pi^0 \mid J_+^{\mu} \mid \pi^- \rangle = \langle \pi^0 \mid V_+^{\mu} \mid \pi^- \rangle + \langle \pi^0 \mid A_+^{\mu} \mid \pi^- \rangle$$

- Dimostriamo adesso che solo la parte vettoriale V^+ della corrente può contribuire all'elemento di matrice
 - Consideriamo le proprietà di trasformazione per inversione spaziale $\mathbb P$ (ricordiamo che $\mathbb P^{-1}=\mathbb P$ e $\mathbb P|\pi,p>=-|\pi,-p>$)
 - Per la componente temporale abbiamo $\left\langle \pi^0, \mathbf{p}_f \mid V_+^0 \mid \pi^-, \mathbf{p}_i \right\rangle = \left\langle \pi^0, \mathbf{p}_f \mid \mathbb{PP} \, V_+^0 \mathbb{PP} \mid \pi^-, \mathbf{p}_i \right\rangle \\ = \left\langle \pi^0, -\mathbf{p}_f \mid V_+^0 \mid \pi^-, -\mathbf{p}_i \right\rangle$
 - $\mathbb{P} V_+^0 \mathbb{P} = V_+^0$

• Per la componente spaziale

$$\langle \pi^0, \mathbf{p}_f \mid \mathbf{V}_+ \mid \pi^-, \mathbf{p}_i \rangle = -\langle \pi^0, -\mathbf{p}_f \mid \mathbf{V}_+ \mid \pi^-, -\mathbf{p}_i \rangle$$

$$\Big| \mathbb{P} \mathbf{V}_{\!+} \mathbb{P} = - \mathbf{V}_{\!+} \Big|$$

• In modo analogo per la parte assiale dell'elemento di matrice si ottiene

$$\langle \pi^0, \mathbf{p}_f \mid A_+^0 \mid \pi^-, \mathbf{p}_i \rangle = -\langle \pi^0, -\mathbf{p}_f \mid A_+^0 \mid \pi^-, -\mathbf{p}_i \rangle$$
$$\langle \pi^0, \mathbf{p}_f \mid \mathbf{A}_+ \mid \pi^-, \mathbf{p}_i \rangle = \langle \pi^0, -\mathbf{p}_f \mid \mathbf{A}_+ \mid \pi^-, -\mathbf{p}_i \rangle$$

$$\mathbb{P}A_+^0\mathbb{P} = -A_+^0$$

$$\left|\mathbb{P}\mathbf{A}_{+}\mathbb{P}=\mathbf{A}_{+}
ight|$$

• Nella diapositiva precedente abbiamo visto che per motivi di invarianza

$$\left\langle \pi^0 \mid J_+^\mu \mid \pi^- \right\rangle = a p_i^\mu + b p_f^\mu$$

- Solo l'elemento di matrice vettoriale si comporta come un 4-vettore
- Analogamente si potrebbe dimostrare che per $\pi^- o \mu^-\, \overline{
 u}_\mu$ contribuisce solo A_+

• Utilizziamo adesso l'ipotesi CVC per calcolare l'elemento di matrice

$$\left\langle \pi^0 \mid J_+^{\mu} \mid \pi^- \right\rangle = \left\langle \pi^0 \mid V_+^{\mu} \mid \pi^- \right\rangle$$

- L'ipotesi CVC consiste nell'assumere che le correnti deboli cariche e la corrente elettromagnetica siano correnti di isospin $V_1,\ V_2,\ V_3$
- In particolare
 - ullet La componente isovettoriale della corrente elettromagnetica è V_3
- Nella diapositiva $\underline{466}$ (con l'identificazione J=V) abbiamo visto che le cariche J e le correnti V_i soddisfano le seguenti regole di commutazione
 - In particolare

$$[T_l, V_m^{\mu}] = i\varepsilon_{lmk} V_k^{\mu}$$

$$[T_1, V_3] = i\varepsilon_{132}V_2 = -iV_2$$
 $[T_2, V_3] = i\varepsilon_{231}V_1 = iV_1$

• Dalle due relazioni precedenti si ottiene

$$[T_1, V_3] + i[T_2, V_3] = -iV_2 - V_1 = -V_+ = [T_1 + iT_2, V_3] = [T_+, V_3]$$

In conclusione

$$[V_3, T_+] = V_+$$

$$[V_3, T_+] = V_+$$

- Questa regola ci permette di trovare una relazione fra
 - L'elemento di matrice del decadimento eta del π^-
 - L'elemento di matrice della corrente elettromagnetica del π^-
- Il π^- e il π^0 sono due autostati $|T, T_3>$ dell'isospin

$$|\pi^{-}\rangle = |1, -1\rangle$$
 $|\pi^{0}\rangle = |1, 0\rangle$

Otteniamo pertanto

$$\langle \pi^{0} \mid V_{+}^{\mu} \mid \pi^{-} \rangle = \langle 1, 0 \mid V_{+}^{\mu} \mid 1, -1 \rangle = \langle 1, 0 \mid [V_{3}, T_{+}] \mid 1, -1 \rangle$$

$$= \langle 1, 0 \mid V_{3}T_{+} - T_{+}V_{3} \mid 1, -1 \rangle = \langle 1, 0 \mid V_{3}T_{+} \mid 1, -1 \rangle - \langle 1, 0 \mid T_{+}V_{3} \mid 1, -1 \rangle$$

• Sfruttiamo le proprietà degli operatori di innalzamento e abbassamento

$$T_{+} |T, T_{3}\rangle = \sqrt{(T - T_{3})(T + T_{3} + 1)} |T, T_{3} + 1\rangle \qquad T_{+} |1, -1\rangle = \sqrt{2} |1, 0\rangle$$

$$T_{-} |T, T_{3}\rangle = \sqrt{(T + T_{3})(T - T_{3} + 1)} |T, T_{3} - 1\rangle \qquad T_{-} |1, 0\rangle = \sqrt{2} |1, -1\rangle$$

• Introducendo nell'elemento di matrice

$$\langle 1,0 \mid V_3T_+ \mid 1,-1 \rangle - \langle 1,0 \mid T_+V_3 \mid 1,-1 \rangle = \sqrt{2} \langle 1,0 \mid V_3 \mid 1,0 \rangle - \sqrt{2} \langle 1,-1 \mid V_3 \mid 1,-1 \rangle$$

• Utilizzando l'ipotesi CVC abbiamo pertanto ottenuto

$$\langle \pi^0 \mid V_+^{\mu} \mid \pi^- \rangle = \sqrt{2} \langle \pi^0 \mid V_3 \mid \pi^0 \rangle - \sqrt{2} \langle \pi^- \mid V_3 \mid \pi^- \rangle$$

- Ricordiamo inoltre che l'ipotesi CVC identifica V_3 con la corrente elettromagnetica j_{em}
 - Un'ultima semplificazione si ottiene dalla proprietà della corrente elettromagnetica rispetto all'operatore di coniugazione di carica $C=C^{-1}=C^{\dagger}$

$$C^{-1}j_{\rm em}^{\mu}C = -j_{\rm em}^{\mu}$$

- Questa relazione dice semplicemente che il segno del campo elettromagnetico dipende dal segno della carica elettrica della particella
- Inoltre il π^0 è un autostato di C con autovalore +1 $C|\pi^0>=+|\pi^0>$
 - Otteniamo pertanto

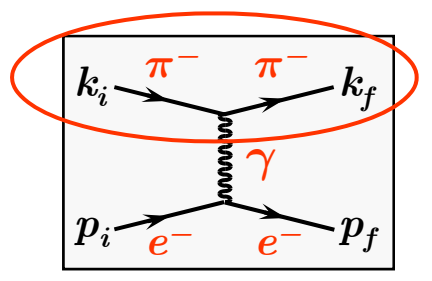
$$\left\langle \pi^0 \mid j_{\text{em}}^{\mu} \mid \pi^0 \right\rangle = \left\langle \pi^0 \mid C^{\dagger} j_{\text{em}}^{\mu} C \mid \pi^0 \right\rangle = -\left\langle \pi^0 \mid j_{\text{em}}^{\mu} \mid \pi^0 \right\rangle$$

• Da cui

$$\left\langle \pi^0 \mid j_{\rm em}^{\mu} \mid \pi^0 \right\rangle = 0$$

• Pertanto l'elemento di matrice del decadimento eta del π^- è

$$\left\langle \pi^{0} \mid V_{+}^{\mu} \mid \pi^{-} \right\rangle = -\sqrt{2} \left\langle \pi^{-} \mid j_{\text{em}}^{\mu} \mid \pi^{-} \right\rangle$$



$$\left\langle \pi^{0} \mid V_{+}^{\mu} \mid \pi^{-} \right\rangle = -\sqrt{2} \left\langle \pi^{-} \mid j_{\text{em}}^{\mu} \mid \pi^{-} \right\rangle$$

· Pertanto che l'elemento di matrice adronico della corrente debole può essere calcolato a partire dall'elemento di matrice della corrente elettromagnetica

$$\langle \pi^{\pm}, p_f \mid j_{\text{em}}^{\mu}(0) \mid \pi^{\pm}.p_i \rangle = F_{\pi}(q^2)(p_i^{\mu} + p_f^{\mu})$$

• Il Q valore del decadimento è molto piccolo

$$Q = m_{\pi^-} - m_{\pi^0} - m_e = 139.570 - 134.977 - 0.511 = 4.082 \text{ MeV}$$

• La massima quantità di moto è di appena 4 MeV

$$\mathbf{p}_i = 0$$

$$q_{\text{max}}^2 = m_{\pi^-}^2 + m_{\pi^0}^2 - 2E_i E_f + 2\mathbf{p}_i \cdot \mathbf{p}_f = m_{\pi^-}^2 + m_{\pi^0}^2 - 2m_{\pi^-} E_{\pi^0}$$

• Introducendo i valori numerici vediamo che $q^2 pprox (m_{\pi^-} - m_{\pi^0})^2$ $E_{\pi^0} pprox m_{\pi^0}$

$$E_{\pi^0} \approx m_{\pi^0}$$

$$q_{\rm max}^2 = 4.626 \,{\rm MeV^2} = 4.626 \times 10^{-6} \,{\rm GeV^2} \simeq 0$$

- ullet È possibile pertanto trascurare la dipendenza da q^2 e assumere $F_\pi(q^2)=1$
- Pertanto

$$\left\langle \pi^0 \mid V_+^\mu \mid \pi^- \right\rangle = -\sqrt{2} \left(p_i^\mu + p_f^\mu \right)$$

• Il calcolo è a questo punto semplice ed è lasciato come esercizio

$$\Gamma_{\pi^0 e
u} = rac{G_{eta}^2}{30\pi^3} (m_{\pi^-} - m_{\pi^0})^5$$

$$\Gamma_{\pi^0 e
u} = rac{G_eta^2}{30 \pi^3} (m_{\pi^-} - m_{\pi^0})^5$$
 da confrontare con $\Gamma_{l
u} = rac{G_eta^2}{8 \pi} f_\pi^2 m_l^2 m_\pi \left(1 - rac{m_l^2}{m_\pi^2}
ight)^2$